

تحلیل نحوه پخش نانوذرات در جریان جابه جایی مخلوط آشفته نانو سیال آب و اکسید مس

فرزاد بازدیدی طهرانی^{*}، سید ایمان واصفی و امیر مسعود انواری
دانشکده مهندسی مکانیک، دانشگاه علم و صنعت ایران، تهران

(دریافت مقاله: ۱۳۹۴/۰۹/۱۲ - دریافت نسخه نهایی: ۱۳۹۵/۰۵/۲۷)

چکیده - در این پژوهش، جریان جابه جایی آشفته نانو سیال آب و اکسید مس در یک کانال قائم به صورت عددی مورد بررسی و تحلیل قرار می گیرد. جهت مدل سازی جریان فاز سیال به صورت پیوسته در نظر گرفته می شود، در حالی که نانوذرات به صورت فاز گسته در سیال پایه پخش شده اند. نحوه پخش نانوذرات اکسید مس در سیال پایه در شرایط جریانی مختلف مطالعه می شود تا مکانیزم های مؤثر بر توزیع نانوذرات در مقطع کانال مشخص شود. نتایج میان این نکته است که در شرایط جریان جابه جایی آشفته و در ناحیه کاملاً توسعه یافته اثر پدیده ترموفورسیس بر حرکت براونی نانوذرات غلبه کرده و از این رو تجمع ذرات در نواحی مرکزی کانال بیشتر است. اما در ناحیه ورودی که لایه مرزی به طور کامل شکل نگرفته است، توزیع نانوذرات یکنواخت تر است. همچنین افزایش کسر حجمی نانوذرات به افزایش نوسانات سرعت آشفته کی در نواحی نزدیک به دیواره کمک کرده و این اثر متقابل موجب بهبود بیشتر انتقال حرارت در جریان آشفته نسبت به جریان آرام می شود.

واژه های کلیدی: نانو سیال، جابه جایی آشفته، پخش ذرات.

Analysis of Particle Dispersion in Turbulent Mixed Convection of CuO-water Nanofluid

F. Bazdidi Tehrani*, S. I. Vasefi, and A. M. Anvari

Department of Mechanical Engineering, Iran University of Science and Technology, Tehran, Iran

Abstract: In the present paper, turbulent convection of CuO-Water Nanofluid in a vertical channel is investigated numerically. In order to simulate the flow, the fluid is considered as a continuous phase while the discrete nanoparticles are dispersed through it. The dispersion of CuO nanoparticles in different flow conditions are studied in order to find the effective

*: مسئول مکاتبات، پست الکترونیکی: bazdid@iust.ac.ir

mechanisms of particles dispersion in the channel. The results show that in the fully developed turbulent convection flow, thermophoresis is more dominant than Brownian motion of nanoparticles and therefore the nanoparticles aggregation are more in the central areas of the channel. While in entrance region, where the boundary layer is not fully formed, the particles dispersion are more uniform. Also, an increase in the nanoparticles concentration will increase the turbulent velocity fluctuations in regions near the wall and this two-sided effect will cause improvement in turbulent flow thermal transmittance than the laminar flow.

Keywords: Nanofluid, Turbulent convection, Dispersion of particles.

فهرست علائم

عدد ثابت	β_r	ضریب تصحیح کائینگهام	C_c
عدد ثابت	β	گرمای ویژه در فشار ثابت ($J \cdot kg^{-1} \cdot K^{-1}$)	c_p
عدد ثابت	β^*	ضریب پخش برآونی	D_B
عدد ثابت	ϕ	قطر هیدرولیکی	D_h
عدد ثابت	σ	قطر نانوذرات (m)	d_p
عدد ثابت	σ_k	فاکتور اصطکاک	f
عدد ثابت	σ_{k1}	عدد گراش	G_r
عدد ثابت	σ_{k2}	ضریب انتقال حرارت جابه جایی ($W \cdot m^{-2} \cdot K^{-1}$)	h
عدد ثابت	$\sigma_{\omega 1}$	هدایت گرمایی ($W \cdot m^{-1} \cdot K^{-1}$)	k
عدد ثابت	$\sigma_{\omega 2}$	ضریب پخش برآونی به ترموفورسیس	N_{BT}
دلتای کرونیکر	δ_{ij}	عدد ناسلت (hD_h/k)	Nu
اعداد تصادفی گوس با واریانس مستقل واحد	ζ_i	فشار ($kg \cdot m^{-3} \cdot s^{-2}$)	P
لزجت دینامیکی ($N \cdot s \cdot m^{-3}$)	μ	عدد پرانتل (v/a)	Pr
چگالی ($kg \cdot m^{-3}$)	ρ	شار گرما ($W \cdot m^{-2}$)	q''
كسر حجمی	ϕ	عدد رایلی ($Gr \cdot Pr$)	Ra
نرخ اضمحلال ویژه ($kg \cdot m^{-3} \cdot s^{-1}$)	ω	عدد رینولدز (vD_h/v)	Re
زیرنویس		دما (K)	T
بالک	b	سرعت ($m \cdot s^{-1}$)	v
نسبي	d	جهات مختصات	x, y, z
سیال پایه	f	علام یونانی	
نانو ذره	p	عدد ثابت	α_1
آشفنگی	t	عدد ثابت	α_r
		عدد ثابت	β_1

است. برای تهیه نانوسیال از دو روش مختلف استفاده می شود؛ روش یک مرحله‌ای و روش دو مرحله‌ای. در روش یک مرحله‌ای، نانوذرات به صورت هم‌زمان تولید و در سیال پایه معلق می‌شوند. در روش دو مرحله‌ای ابتدا نانوذرات توسط یکی از روش‌های تولید نانوذره تهیه شده و سپس در مرحله بعد در سیال پایه پراکنده می‌شوند. یک مزیت روش دو مرحله‌ای این است که در این روش تهیه نانوذرات به تولید انبوه می‌رسد. یکی از

پژوهشگران در طی سال‌های گذشته تلاش‌های فراوانی برای افزایش انتقال حرارت انجام داده‌اند. روش‌های متعددی نیز به کار گرفته شد. یکی از این روش‌ها، پخش کردن ذرات جامد ریز از مقیاس نانو در سیال است. به این مخلوط، نانوسیال گفته می‌شود. تحقیق‌های بسیاری در زمینه نانوسیالات مانند بررسی نوع و اندازه ذرات و همچنین رژیم‌های جریانی مختلف صورت گرفته

در صد کسر حجمی است و کمترین انتقال حرارت را نانو سیال آب و اکسید تیتانیوم با $6/2$ درصد افزایش دارد. همان‌طور که مشاهده می‌شود افزایش انتقال حرارت در جریان آشفته بیشتر از جریان آرام است. لذا اهمیت و لزوم بررسی نانو سیال در جریان آشفته و انتقال حرارت مربوط به آن امکان‌ناپذیر است. آنوب و همکاران [۷] ویژگی‌های انتقال حرارت جابه‌جا‌ی نانو سیال آب و آلومینیا را در یک جریان آشفته به صورت آزمایشگاهی بررسی کردند. قطر نانو ذرات کمتر از 100 نانومتر در نظر گرفته شد. آزمایشات در چهار کسر حجمی انجام شده است و بیشترین افزایش انتقال حرارت در بیشترین کسر حجمی یعنی 4 درصد مشاهده شده است. مهرجو و همکاران [۸] انتقال حرارت نانو سیال آب و اکسید مس را در یک کانال مربعی در یک تحقیق آزمایشگاهی بررسی کردند. آنها نشان دادند که با افزایش کسر حجمی از $2/0$ تا $5/0$ درصد و در پکلت 37500 ضریب انتقال حرارت $10/34$ درصد افزایش می‌یابد. با توجه به نتایج آزمایشگاهی ذکر شده، مشخص می‌شود که تفاوت در میزان بهبود انتقال حرارت گزارش شده در تحقیقات مختلف قابل توجه است. به همین منظور تحقیقات عددی توسعه یافته‌اند تا مکانیزم‌های حاکم بر جریان و انتقال حرارت نانو سیال را مشخص سازند. سلمان و همکاران [۹] انتقال حرارت جابه‌جا‌ی نانو سیال‌های مختلف را در کسرهای حجمی متفاوت در جریان آرام و در میکرو لوله به صورت عددی بررسی کردند. آنها همچنین قطر ذرات را تغییر دادند و مشاهده کردند که با افزایش عدد رینولدز و افزایش کسر حجمی، عدد ناسلت افزایش پیدا می‌کند. بیشترین افزایش مربوط به نانو سیال اتیلن گلیکول و اکسید سیلیسیوم و کمترین ناسلت مربوط به نانو سیال اتیلن گلیکول و اکسید آلومینیم است. همچنین آنها نتیجه گرفتند که با افزایش قطر نانو ذرات، عدد ناسلت کاهش پیدا می‌کند. نامبورو و همکاران [۱۰] انتقال حرارت و جریان آشفته نانو سیال را با در نظر گرفتن خواص متغیر به صورت عددی مطالعه قرار دادند. آنها از سه نانو ذره مختلف (اکسید مس، اکسید آلومینیم و اکسید سیلیکون) و دو مایع پایه مختلف (آب و اتیلن گلیکول) استفاده

مشکلات اصلی در استفاده از روش دو مرحله‌ای، غلبه بر مشکل ناپایداری نانو سیال است به این معنی که باید با استفاده از تکنیک‌هایی، از تهشیبی ذرات در اثر تجمع و به هم چسبیدن نانو ذرات جلوگیری کرد [۱]. جهت افزایش پایداری نانو سیال روش‌های مختلفی وجود دارد. تغییر pH سوسپانسیون، استفاده از مواد فعال کننده یا پخش کننده سطحی و همچنین ارتعاشات فرا صوت نانو سیال از جمله این روش‌ها است [۲]. یکی از معیارهای بررسی میزان پایداری نانو سیال معیار زتای است. پتانسیل زتای یک پتانسیل الکتریکی است که بیان کننده اختلاف پتانسیل بین نانو ذره و لایه سیال چسبیده به آن می‌باشد. پتانسیل زتای نشان دهنده میزان دافعه بین ذرات مشابه مجاور است. بنابراین سوسپانسیون‌هایی با پتانسیل زتای بالا از لحاظ الکتریکی به شرایط پایداری رسیده‌اند در حالی که سوسپانسیون‌هایی با پتانسیل زتای پایین تمایل پیشتری به کلوخه شدن دارند. نانو سیال هایی با پتانسیل زتای 40 تا 60 mV دارای میزان پایداری قابل قبول هستند [۳]. کیم و همکاران [۴]، با استفاده از تحلیل پتانسیل زتای نانو سیال طلا و آب پایداری این نانو سیال را تا مدت یک ماه بدون تهشیبی قابل توجهی حفظ کردند. همت اسفه و همکاران [۵] به بررسی انتقال حرارت جریان آشفته آب و اکسید منیزیم در یک لوله دایره‌ای و با کسرهای حجمی متفاوت به صورت آزمایشگاهی پرداختند. آنها متوجه شدند که روابط سنتی در پیش‌بینی ضریب هدایت حرارتی و ویسکوزیته دینامیکی نانو سیال آب و اکسید منیزیم ناتوان است. به همین دلیل از روابطی که از طریق آزمایشگاهی به دست آمد، استفاده کردند. نتایج آنها، افزایش $21/8$ درصد عدد ناسلت را در کسر حجمی $5/0$ درصد و در عدد رینولدز 6700 نشان می‌دهد. سوهل و همکاران [۶] نیز به صورت تحلیلی انتقال حرارت و خواص ترموفیزیکی چند نانو سیال را در رژیم جریان آرام و میکرو کanal دایره‌ای بررسی کردند. آنها از نانو سیال‌های آب و اکسید آلومینیم، آب و اکسید تیتانیوم و آب و اکسید مس استفاده کردند. نتایج آنها نشان می‌دهد که بیشترین افزایش انتقال حرارت مربوط به نانو سیال آب و اکسید مس با $13/15$ درصد افزایش برای 4

تری نسبت به مدل تک فاز به دست می‌آید. آنها همچنین مشاهده کردند که در عدد ریچاردسون پایین‌تر که اثر جابه‌جایی اجباری بیشتر از جابه‌جایی آزاد است، بهبود انتقال حرارت بیشتر است بهصورتی که برای کسر حجمی 1 درصد و $Ri = 0.5$ برابر $6/5$ درصد و برای $Ri = 5$ کمتر از 4 درصد است. از بررسی‌های به عمل آمده مشاهده می‌شود که دقت مدل دو فاز به مراتب بیشتر از تک فاز است. بنابراین لزوم بررسی نحوه پخش نانوذرات در یک نانوسيال جهت بررسی تأثیر آن بر نحوه انتقال حرارت احساس می‌شود. در مقاله حاضر به مدل‌سازی جریان جابه‌جایی آشفته آب و اکسید مس در کاتال قائم مرتعی پرداخته می‌شود. شبیه‌سازی جریان، به روش دو فاز (اویلرین- لاگرانژین) و با استفاده از مدل $k-\omega$ (SST) صورت گرفته است. هدف از تحقیق حاضر بررسی نحوه پخش ذرات در یک جریان جابه‌جایی آشفته است و اینکه حضور نانوذرات چه تأثیری بر آشفتگی جریان می‌گذارد و بهصورت متقابل، آشфтگی جریان چه تأثیری بر نحوه پخش ذرات خواهد داشت. به همین منظور در ابتدا تأثیر حضور نانوذرات بر عدد ناسلت و فاکتور اصطکاک بررسی می‌شود و در ادامه به عواملی که موجب تغییر عدد ناسلت و فاکتور اصطکاک می‌شود، پرداخته می‌شود. از نتایج این تحقیق می‌توان جهت هدایت نانوذرات با هدف به دست آوردن حداقل انتقال حرارت و حداقل افت فشار استفاده کرد.

۲- معادلات حاکم بر جریان نانوسيال

در مدل اویلر- لاگرانژ سیال بهصورت پیوسته و نانوذرات بهصورت گستته تحلیل می‌شوند. به همین منظور معادلات ناویر استوکس برای سیال نوشته شده و اثر حضور ذرات بهصورت دو بخش ترموفورتیک و برآونی در معادله مومتوم و معادله انرژی وارد می‌شود. بنابراین، برای فاز مایع معادلات بقا در حالت جریان پایا بهصورت زیر بیان می‌شود:

معادله پیوستگی:

$$\nabla \cdot (\rho_f v_f) = 0 \quad (1)$$

معادله مومنتوم:

کردن. هندسهٔ مورد استفاده لولهٔ دایره‌ای با شرط مرزی شار حرارتی ثابت بود. در این مطالعه از خواص وابسته به دما استفاده شد. نتایج نشان داد که ذرات ریزتر باعث افزایش بیشتری در عدد ناسلت و لزجت نانوسيال می‌شوند. نانوسيالات شامل نانوذرات با جنس‌های مختلف با هم مقایسه شد. نانوسيال شامل نانوذرات اکسید مس با غلاظت 6 درصد، در مقایسه با آب در یک عدد رینولدز ثابت، 35 درصد افزایش نشان می‌دهد. لطفی و همکاران [۱۱] انتقال حرارت جابه‌جایی نانوسيالات را با نگرش های مختلف بهصورت عددی حل و با هم مقایسه کردند. از مدل ترکیبی دو فازی و مدل اویلری و همچنین از حل به روش تک فاز در این مطالعه استفاده و نتایج مقایسه شدند. اثر غلاظت نانوذرات بر پارامترهای حرارتی ارزیابی شد. با مقایسه نتایج با کارهای آزمایشگاهی، مشخص شد که مدل ترکیبی، جواب‌های بهتری در مقایسه با حل‌های دیگر ارائه می‌دهد. نانوسيال مورد استفاده، آب و اکسید آلومینیوم بود. بیانکو و همکاران [۱۲] انتقال حرارت جابه‌جایی اجباری نانوسيال آب و اکسید آلومینیوم را در لولهٔ دایره‌ای با شرایط مرزی شار حرارتی ثابت و دمای سطح ثابت در یک مطالعه عددی بررسی کردند. در این مطالعه هم از روش تک فاز و هم از روش دو فاز برای حل استفاده شد. برای انجام حل، هم از خواص ثابت و هم از خواص وابسته به دما استفاده شد. بررسی‌ها برای اندازهٔ ذرات 100 نانومتری انجام شد. اختلاف بین نتایج حل با دو نگرش مختلف (دو فاز و تک فاز) حدود 11 درصد بود. ضریب انتقال حرارت با افزایش غلاظت، افزایش می‌یافتد که همراه با افزایش تنش برشی دیوار بود. وقتی از مدل‌های خواص وابسته به دما در حل استفاده می‌شد، بیشترین ضریب انتقال حرارت و کمترین تنش برشی به دست می‌آمد. با افزایش عدد رینولدز ضریب انتقال حرارت، افزایش بیشتری می‌یافتد که آن هم همراه با افزایش در تنش برشی بود. بازدیدی طهرانی و همکاران [۱۳] انتقال حرارت تک فاز و دو فاز جابه‌جایی مخلوط آرام نانوسيال را در کاتال قائم مستطیلی بهصورت عددی بررسی کردند. آنها از نانوسيال آب و اکسید تیتانیوم استفاده کردند و دریافتند که در مدل دو فاز نتایج دقیق

$$\nabla \cdot (\rho_f c_{p,f} v_f T_f) = \nabla \cdot (k_f \nabla T_f) + V_p Q \quad (V)$$

که Q شار کلی حرارتی تبادل شده میان ذره و سیال است که بهوسیله رابطه (۸) محاسبه می‌شود:

$$Q = h A_p (T_p - T_f) \quad (8)$$

که در آن A_p مساحت یک ذره است و h از رابطه (۹) بهدست می‌آید:

$$h = \frac{k_f N_u}{d_p} \quad (9)$$

که در آن N_u از طریق رابطه رنر و مارشال [۱۶] بهصورت زیر محاسبه می‌شود:

$$N_u = 2 / 0 + 0 / 6 Re_d^{1/2} Pr^{1/3} \quad (10)$$

با درنظر گرفتن یک حجم کترل در اطراف ذره و نوشتن قانون بقای انرژی برای ذره، نتیجه می‌شود که:

$$m_p c_{p,p} \frac{dT_p}{dt} = Q \quad (11)$$

در شبیه‌سازی حاضر، از مدل آشفتگی دو معادله‌ای SST / $k - \omega$ استفاده شده است. معادلات انتقال برای این مدل آشفتگی بهصورت زیر است:

$$\frac{\partial}{\partial t}(\rho k) + \frac{\partial}{\partial x_i}(\rho k u_i) = \tau_{ij} \frac{\partial u_i}{\partial x_j} - \beta^* \rho \omega k + \frac{\partial}{\partial x_j} \left[(\mu + \sigma_k \mu_t) \frac{\partial k}{\partial x_j} \right] \quad (12)$$

$$\frac{\partial}{\partial t}(\rho \omega) + \frac{\partial}{\partial x_i}(\rho \omega u_i) = \frac{\gamma}{V_t} \tau_{ij} \frac{\partial u_i}{\partial x_j} - \beta \rho \omega + \frac{\partial}{\partial x_j} \left[(\mu + \sigma_\omega \mu_t) \frac{\partial \omega}{\partial x_j} \right] + \gamma \rho (1 - F_i) \sigma_\omega \frac{1}{\omega} \frac{\partial k}{\partial x_i} \frac{\partial \omega}{\partial x_i} \quad (13)$$

$$F_i = \tanh \left\{ \left[\text{Min} \left[\text{Max} \left(\frac{\sqrt{k}}{\beta^* \omega y}, \frac{500v}{y^\gamma \omega} \right), \frac{4\sigma_\omega k}{CD_{k\omega} y^\gamma} \right] \right] \right\} \quad (14)$$

$$CD_{k\omega} = \text{Max} \left[2\rho \sigma_\omega \frac{1}{\omega} \frac{\partial k}{\partial x_j} \frac{\partial \omega}{\partial x_j}, 10^{-10} \right] \quad (15)$$

ثوابت استفاده شده در روابط بالا مربوط به معادلات SST/ $k - \omega$ در جدول (۱) نشان داده شده است. مقادیر β ، σ_k و γ از ثوابت مدل هستند که نحوه محاسبه آنها در مرجع [۱۹] به طور

$$\nabla \cdot (\rho_f v_f v_f) = -\nabla P + \nabla \cdot (\mu_f \nabla v_f) + \rho (F_T + F_B) \quad (2)$$

که F_T و F_B بهترتیب بیان کننده نیروهای ترموفورتیک و براونی (در واحد جرم) است که بر ذره وارد می‌شود.

نیروی ترموفورتیک

نیروی ترموفورتیک در اثر گرادیان دما در فاز پیوسته اتفاق می‌افتد. سرعت مولکولی بیشتر در اثر دمای بیشتر در یک طرف ذره، تغییر مومنتوم بیشتری را موجب می‌شود و در نتیجه نیرویی در جهت کاهش دما ایجاد می‌شود.

نتایج اپستین [۱۴] بهترین تطابق را با نتایج آزمایشگاهی برای محدوده گسترده‌ای از عدد نادسن و نسبت ضریب هدایت گرمایی دارد:

$$F_T = \frac{-9\pi\mu_f d_p}{\rho_f} \times \frac{k_f}{4k_f + k_p} \times \frac{\nabla T}{T} \quad (3)$$

نیروی براونی

نیروی دیگری که بر ذرات ریز پخش شده در سیال وارد می‌شود، نیروی براونی است. برای ذرات زیر میکرون، تأثیر حرکت براونی در نیروی اضافی قرار می‌گیرد. اجزای نیروی براونی به وسیله فرایند طیف گاوسی با شدت طیف $S_{n,ij}$ مدل می‌شود که بر طبق آن [۱۵]:

$$S_{n,ij} = S_n \delta_{ij} \quad (4)$$

که δ_{ij} ، دلتای کرونیکر است و:

$$S_n = \frac{216 \nu k_B T}{\pi^2 \rho d_p^5 \left(\frac{\rho_p}{\rho} \right)^2 C_c} \quad (5)$$

که T دمای مطلق سیال، ν ویسکوزیته سینماتیکی، و k_B ثابت بولتزمن است. بزرگی اجزای نیروی براونی به فرم زیر است که:

$$F_{b,i} = \zeta_i \sqrt{\frac{\pi S_n}{\Delta t}} \quad (6)$$

که ζ_i اعداد تصادفی گوس با واریانس مستقل واحد و متوسط صفر است. به این ترتیب مقادیر نیروی براونی در هر بازه زمانی ارزیابی می‌شود.

معادله انرژی:

جدول ۱- ضرایب موجود در مدل (SST) [۱۹]

α_1	α_2	β_1	β_2	β^*	σ_{k1}	σ_{k2}	σ_{ω_1}	σ_{ω_2}
۵/۹	۰/۴۴	۳/۴	۰/۰۸۲۸	۰/۰۹	۰/۰۵	۱	۰/۵	۰/۸۵۶

۳- هندسه جریان و شرایط مرزی

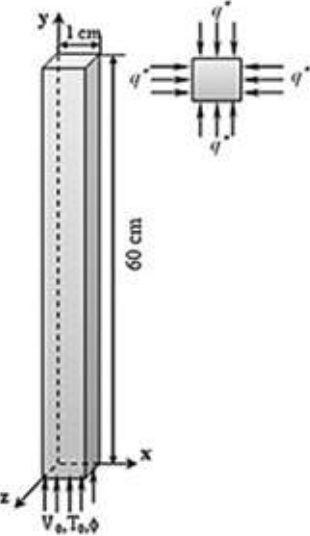
جهت شبیه‌سازی جریان نانو سیال آب و اکسید مس کانالی قائم با سطح مقطع مربعی به ضلع ۱ سانتی‌متر و طول ۶۰ سانتی‌متر در نظر گرفته شده است. در ورودی کanal شرایط مرزی سرعت و دمای ثابت و کسر حجمی معلوم نانوذره اکسید مس در نظر گرفته می‌شود و در دیواره‌ها نیز شرط مرزی عدم لغزش و شار حرارتی ثابت در نظر گرفته می‌شود. در خروجی کanal نیز شرط مرزی فشار خروجی اعمال شده است. شکل (۱) شماتیک از هندسه در نظر گرفته شده و شرایط مرزی اعمال شده را نشان می‌دهد. نانوذرات اکسید مس به صورت کروی در نظر گرفته می‌شوند. قطر همه نانوذرات ثابت و برابر با ۴۰ نانومتر در نظر گرفته می‌شود. این نانوذرات از صفحه ورودی به طور یکنواخت به جریان سیال به صورت پایا تزریق می‌شوند. همچنین شرایط مرزی دیواره‌ها برای نانوذره‌ها از نوع انعکاسی و برخورد الاستیک منظور می‌شود.

۴- تحلیل عددی

برای گسته‌سازی معادلات غیرخطی بیان شده از روش حجم کنترل استفاده شده است. برای تقریب جملات پخش و جابه‌جایی از طرح بالادستی مرتبه دو و جهت حفظ اثر متقابل میدان‌های سرعت و فشار از روش سیمپل (SIMPLE) استفاده شده است. شبکه حل در تمامی جهات به صورت غیر یکنواخت تنظیم شده است. با توجه به ماهیت تکرار روش حل، از معیار همگرایی زیر استفاده شده است:

$$|\Psi^n - \Psi^{n-1}| \leq 10^{-6} \quad (17)$$

که n شماره تکرار و 10^{-6} نماینده متغیرهای وابسته (u, v, w, T) در معادلات غیرخطی جریان است. به منظور حصول اطمینان از عدم وابستگی نتایج به شبکه حل عددی، شبکه‌ای مختلفی در نظر گرفته شده است. وابسته نبودن نتایج



شکل ۱- هندسه مسئله مورد بررسی و شرایط مرزی

کامل ذکر شده است. با توجه به آنکه انتقال حرارت از نوع جابه‌جایی مختلط است، اثر جابه‌جایی طبیعی نیز در کنار جابه‌جایی اجباری لحاظ خواهد شد. بدین منظور پارامتر جابه‌جایی مختلط^۱ به صورت زیر تعریف می‌شود:

$$MCP = \frac{Ra_{D_h}^{1/4}}{Re_{D_h}^{1/2} Pr^{1/3}} \quad (18)$$

این پارامتر بیان کننده اثرات اعداد بدون بعد رینولدز، پرانتل و رایلی است و نشان‌دهنده مکانیزم انتقال حرارت جابه‌جایی مختلط است. هر اندازه که اثر مکانیزم جابه‌جایی طبیعی در جریان بیشتر شود، عدد رایلی نیز افزایش یافته و مقدار این پارامتر بیشتر می‌شود. بجان [۱۷] نشان داده است برای زمانی که پارامتر جابه‌جایی مختلط از درجه واحد است، هر دو مکانیزم جابه‌جایی طبیعی و اجباری حائز اهمیت خواهند بود، اما برای مقادیر خیلی کوچکتر از یک، جابه‌جایی اجباری و برای مقادیر خیلی بزرگتر از یک، جابه‌جایی طبیعی مکانیزم اصلی انتقال حرارت خواهد بود.

جدول ۲- شبکه‌بندی حل عددی و فاصله اولین گره محاسباتی از دیواره

عدد ناسلت	فاصله اولیه از دیواره	تعداد سلول محاسباتی در جهت y	تعداد سلول محاسباتی در جهت x و z
۵۲	۰/۰۰۰۲۵	۸۰۰	۳۴/۷۸
۵۶	۰/۰۰۰۲۵	۸۰۰	۳۳/۶۵
۵۸	۰/۰۰۰۲۵	۸۰۰	۲۹/۶۶
۵۸	۰/۰۰۰۲۶	۸۰۰	۲۷/۳۱
۶۰	۰/۰۰۰۲۶	۸۰۰	۲۶/۴۸
۶۲	۰/۰۰۰۲۶	۸۰۰	۲۶/۲۵
۶۲	۰/۰۰۰۲	۸۰۰	۲۶/۱۳
۶۲	۰/۰۰۰۲	۱۰۰۰	۲۶/۲۷
۶۶	۰/۰۰۰۲	۱۰۰۰	۲۶/۳۶

جدول ۳- شبکه‌بندی حل عددی و فاصله اولین گره محاسباتی از دیواره

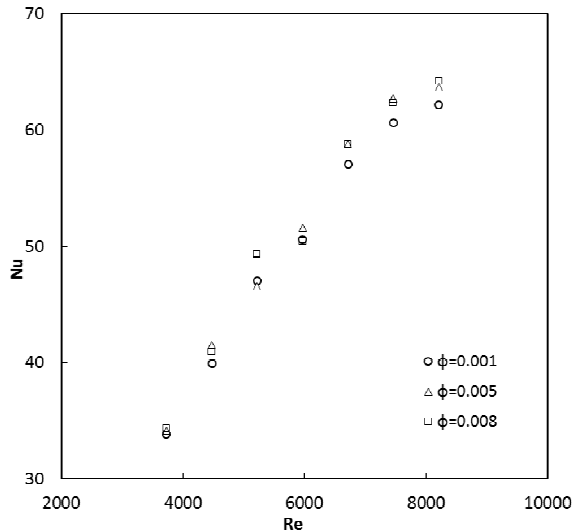
فاکتور اصطکاک	فاصله اولیه از دیواره	تعداد سلول محاسباتی در جهت y	تعداد سلول محاسباتی در جهت x و z
۵۲	۰/۰۰۰۲۵	۸۰۰	۰/۰۱۰۸۹
۵۶	۰/۰۰۰۲۵	۸۰۰	۰/۰۱۰۷۸
۵۸	۰/۰۰۰۲۵	۸۰۰	۰/۰۱۰۴۶
۵۸	۰/۰۰۰۲۶	۸۰۰	۰/۰۱۰۳۵
۶۰	۰/۰۰۰۲۶	۸۰۰	۰/۰۱۰۲۷
۶۲	۰/۰۰۰۲۶	۸۰۰	۰/۰۱۰۳
۶۲	۰/۰۰۰۲	۸۰۰	۰/۰۱۰۲
۶۲	۰/۰۰۰۲	۱۰۰۰	۰/۰۱۰۲۸
۶۶	۰/۰۰۰۲	۱۰۰۰	۰/۰۱۰۳۱

پایین قرار می‌گیرد، اولین گره محاسباتی باید در زیر لایه آرام قرار بگیرد و از استفاده از توابع دیواره اجتناب شود که این امر نیز در شبکه‌بندی مورد توجه قرار گرفته است. جدول‌های (۲) و (۳) استقلال نتایج محاسبه شده با معیار عدد ناسلت، که نماینده پارامتر توزیعی دما است، و همین‌طور با فاکتور اصطکاک، که نماینده پارامتر توزیعی سرعت و فشار است، را از شبکه محاسباتی نشان می‌دهد.

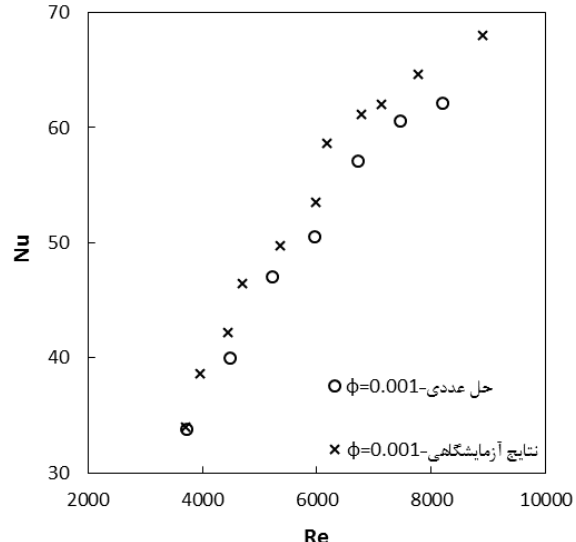
۵- اعتبارسنجی

در نخستین گام نتایج به دست آمده با نتایج آزمایشگاهی مهرجو و

به شبکه‌بندی موضوع بسیار مهمی است که در صورت عدم برقراری، دلالت بر نادرستی نتایج به دست آمده دارد. نکته مهم در شبکه‌بندی، نحوه پخش ذرات است. با توجه به آنکه اندازه ذرات بسیار کوچک است، به شبکه‌بندی بسیار کوچکی نیاز است تا بتوان توزیع ذرات را به درستی تعیین کرد. به همین منظور و پس از بررسی شبکه‌های گوناگون، شبکه‌ای با اندازه ۶۰ سلول محاسباتی در جهت‌های x و z و ۸۰۰ سلول محاسباتی در جهت y به عنوان مبنای محاسبات درنظر گرفته می‌شود. با توجه به اینکه رژیم جریان آشفته بوده و در عین حال در محدوده اعداد رینولدز



شکل ۳- تأثیر تغییرات کسر حجمی بر عدد ناسلت در اعداد رینولدز مختلف



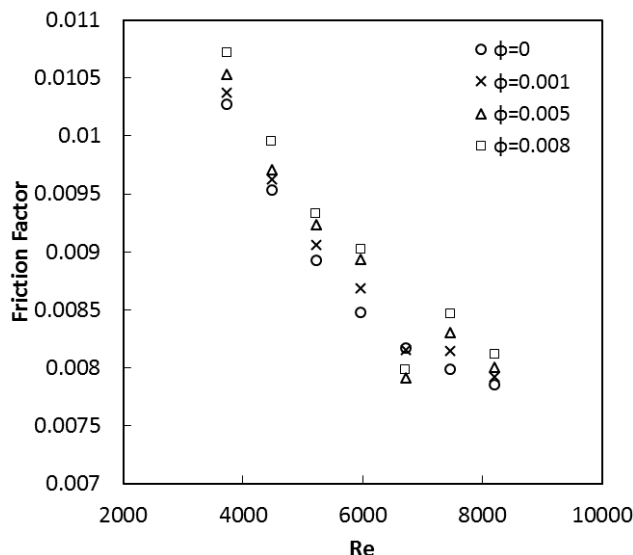
شکل ۲- اعتبار سنجی نتایج حل عددی با نتایج آزمایشگاهی
مهرجو و همکاران [۸] در $\phi = 0.001\%$

حجمی نانوذرات اکسید مس در شکل (۴) بررسی شده است. با توجه به شکل مشخص می‌شود که با افزایش کسر حجمی فاکتور اصطکاک افزایش می‌یابد که این افزایش در مقابل بهبود انتقال حرارت چشمگیر نیست. سپس عوامل تأثیرگذار بر بهبود انتقال حرارت در طول کanal بررسی می‌شود. به همین منظور پخش نانوذرات در ناحیه کاملاً توسعه یافته جریان در دو عدد رینولدز مختلف بررسی شده است. شکل‌های (۵) و (۶) توزیع کسر حجمی نانوذرات اکسید مس را در یک مقطع از کanal و در دو عدد رینولدز $y = 50\text{ cm}$ و $Re = 5230$ و $Re = 8208$ نمایش می‌دهد. با توجه به این دو شکل مشخص می‌شود که توزیع نانوذرات در سطح مقطع کanal یکنواخت نیست و کسر حجمی نانوذرات در نواحی مرکزی کanal بیشتر از دیواره‌ها است. در عین حال با افزایش عدد رینولدز نفوذ ذرات به نواحی نزدیک دیواره افزایش می‌یابد که یکی از مهم‌ترین دلایل افزایش انتقال حرارت با افزایش عدد رینولدز است. با توجه به معادله مومنتوم، دو مکانیزم ترموفورسیس و حرکت براونی در کنار تأثیر گردابه‌های آشفتگی بر نحوه پخش نانوذرات اکسید مس تأثیرگذارند. ترموفورسیس در اثر گرادیان دما در سیال اتفاق می‌افتد. سرعت مولکولی بیشتر در اثر دمای

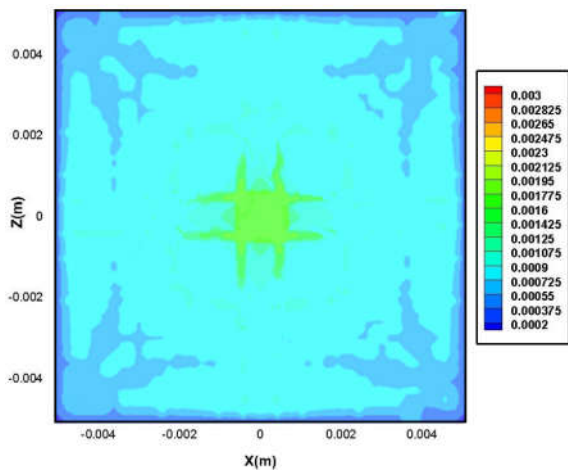
همکاران [۸] در کسر حجمی 10% درصد و اعداد رینولدز مختلف بررسی می‌شود که در شکل (۲) نشان داده شده است. با بررسی شکل مشخص می‌شود که نتایج از دقت مناسبی برخوردار است به نحوی که بیشترین خطای $7/25$ درصد و متوسط خطای $5/43$ درصد است. بنابراین نتایج حل عددی معتبر بوده و می‌توان بر مبنای آن به تحلیل جریان آشفته نانوسیال آب و اکسید مس در یک کanal قائم پرداخت.

۶- نتایج و بحث

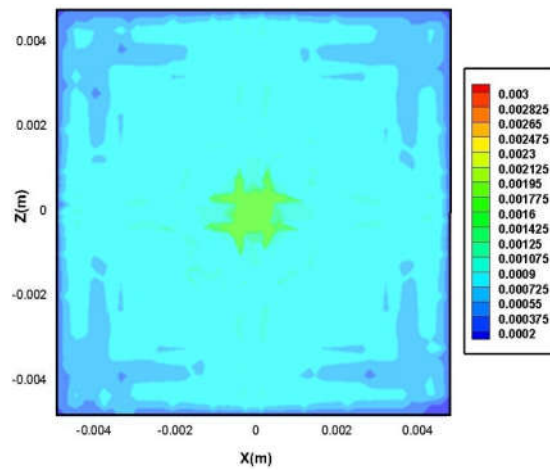
نتایج برای محدوده وسیعی از عدد رینولدز و کسرهای حجمی مختلف به دست آمده است. با توجه به آنکه نحوه توزیع نانوذرات تأثیر مهمی در بهبود انتقال حرارت دارد، در ابتدا تأثیر حضور نانوذرات بر انتقال حرارت و فاکتور اصطکاک بررسی می‌شود و سپس عواملی که موجب بهبود انتقال می‌شود، مورد توجه قرار می‌گیرد. شکل (۳) توزیع عدد ناسلت نانوسیال آب و اکسید مس را در کسرهای حجمی و اعداد رینولدز مختلف نشان می‌دهد. مطابق شکل افزایش کسر حجمی موجب بهبود انتقال حرارت خواهد شد که این بهبود در اعداد رینولدز بالاتر مشهودتر است. تغییرات فاکتور اصطکاک با افزایش کسر



شکل ۴- تأثیر تغییرات کسر حجمی بر فاکتور اصطکاک در اعداد رینولدز مختلف



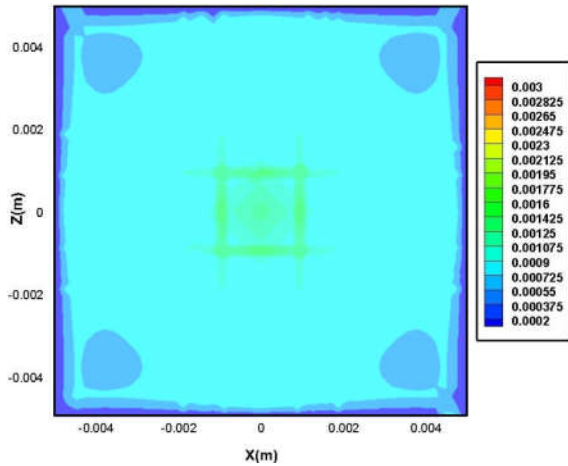
شکل ۶- توزیع کسر حجمی نانوذرات اکسید مس در در انتهای کanal ($y = 50\text{ cm}$) در کسر حجمی متوسط $\phi = 1\%$ و $Re = 8208$



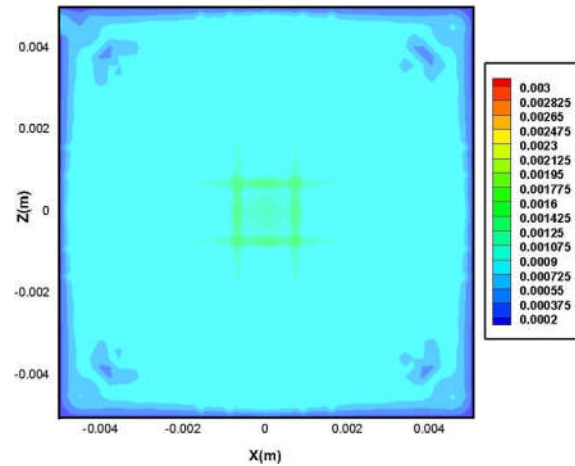
شکل ۵- توزیع کسر حجمی نانوذرات اکسید مس در انتهای کanal ($y = 50\text{ cm}$) در کسر حجمی متوسط $\phi = 1\%$ و $Re = 5230$

نانوذرات در ناحیه‌ای بیشتر باشد، این برخوردها و به دنبال آن نیرویی که این ذرات را از همیگر دور می‌کند (نیروی براونی) بیشتر می‌شود. این نیروی براونی باعث حرکت نانوذرات در خلاف جهت گرادیان غلظت آنها می‌شود (از غلظت بیشتر به غلظت کمتر). با توجه به آنکه این دو پدیده (ترموفورسیس و حرکت براونی) در خلاف یکدیگر اثر می‌کنند بنابراین در اینجا

بیشتر در یک طرف ذره، تغییر مومنتوم بیشتری را موجب می‌شود و در نتیجه نیرویی در جهت کاهش دما ایجاد می‌شود. به همین دلیل در طول کanal، نانوذرات گرم شده و به دلیل پدیده ترموفورسیس در خلاف جهت گرادیان دما حرکت می‌کنند. در مقابل، حرکت تصادفی و کاتورهای نانوذرات موجب برخورد آنها با یکدیگر می‌شود. طبیعتاً هرچه غلظت



شکل ۸- توزیع کسر حجمی نانوذرات اکسید مس در ابتدای کanal ($y = 25\text{cm}$) در کسر حجمی متوسط $\phi = 1\%$ و $Re = 8208$



شکل ۷- توزیع کسر حجمی نانوذرات اکسید مس در ابتدای کanal ($y = 25\text{cm}$) در کسر حجمی متوسط $\phi = 1\%$ و $Re = 5230$

در مقایسه با برآونی قابل توجیه است. این توزیع غیریکنواخت توضیح می دهد که چرا در عین حال که نانوذرات موجب بهبود ضریب انتقال حرارت و عدد ناسلت می شوند، اما ضریب اصطکاک خیلی دستخوش تغییر نمی شود.

سپس نحوه پخش نانوذرات در ناحیه در حال توسعه بررسی می شود. شکل های (۷) و (۸) توزیع کسر حجمی نانوذرات اکسید مس را در یک مقطع از کanal و در $y = 25\text{cm}$ و در دو عدد رینولدز $Re = 5230$ و $Re = 8208$ نمایش می دهد. همان طور که از مقایسه شکل ها مشاهده می شود، توزیع نانوذرات در ناحیه ورودی کanal یکنواخت تر است. در این ناحیه به دلیل آنکه هنوز لایه مرزی به طور کامل شکل نگرفته است، نرخ برش سیال اثر کمتری بر پخش نانوذرات دارد که سبب می شود توزیع آنها در مقطع کanal یکنواخت تر باشد. در عین حال، اثر نیروی ترموفورتیک در ابتدای کanal کمتر است و از این رو مقدار ضریب N_{BT} بیشتر است. به همین دلیل در نواحی نزدیک به ورودی، پخش نانوذرات یکنواخت تر است. برای مشخص تر شدن تغییرات کسر حجمی در عرض کanal، نتایج کانتورهای شکل های (۶) و (۸) در $Re = 8208$ در نمودار شکل (۹) نشان داده شده است. به این منظور توزیع

به معیاری نیاز است که نشان دهد تأثیر کدام یک از نیروهای ترموفورتیک و برآونی بیشتر است. N_{BT} ضریب پخش برآونی به ترموفورسیس است که به صورت رابطه (۱۷) تعریف می شود

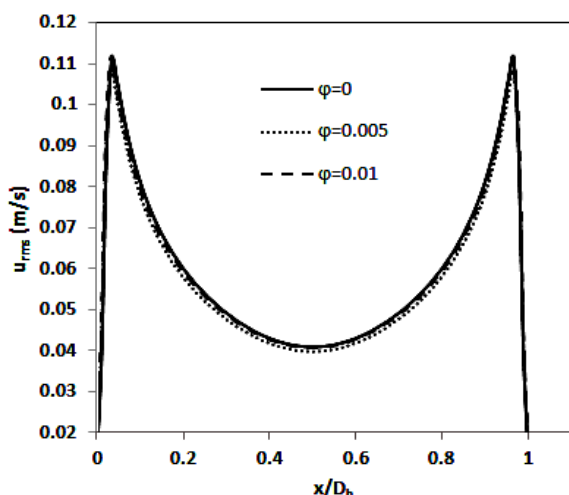
: [۱۸]

$$N_{BT} \equiv \frac{D_B T_b \rho}{\beta \mu \Delta T} \quad (17)$$

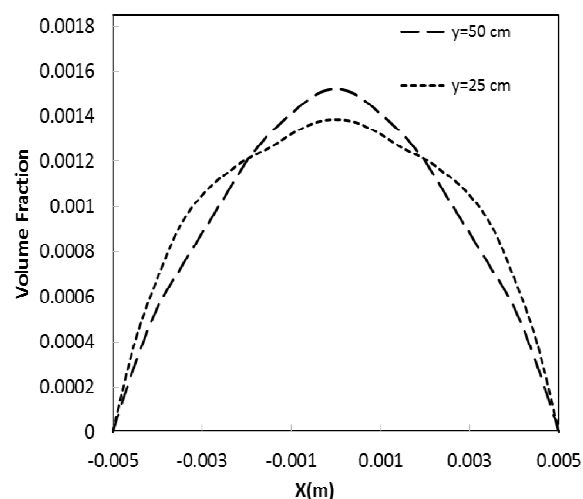
برآونی است و از طریق رابطه (۱۸) به دست می آید [۱۸]:

$$D_B \sim 500 d_p^2 \quad (18)$$

در نتیجه با توجه به N_{BT} مشخص می شود که تأثیر کدام یک از نیروهای برآونی و ترموفورتیک بیشتر است. چنانچه $N_{BT} < 1$ باشد در آن صورت اثر نیروی ترموفورتیک مهم تر از نیروی برآونی بوده و اگر $N_{BT} > 1$ باشد اثر نیروی برآونی مهم تر از نیروی ترموفورتیک خواهد بود. در $Re = 5230$ مقدار $N_{BT} = 0.011$ به دست می آید. در $Re = 8208$ مقدار $N_{BT} = 0.016$ محاسبه می شود. با توجه به اینکه $N_{BT} > 1$ است، تأثیر نیروی ترموفورتیک بیشتر از نیروی برآونی است، در نتیجه توزیع ذرات در نواحی مرکزی کanal بیشتر است. نکته دیگر قابل ذکر، بیشتر بودن کسر حجمی نانوذرات در مرکز کanal در $Re = 8208$ در مقایسه با $Re = 5230$ است که به دلیل کمتر بودن N_{BT} و در نتیجه بیشتر بودن اثر ترموفورسیس



شکل ۱۰- تغییرات نوسانات سرعت آشفتگی با کسر حجمی در
 $Re = 3731$



شکل ۹- توزیع کسر حجمی نانوذرات اکسید مس در ناحیه ابتدای کanal ($y = 25\text{cm}$) و انتهای کanal ($y = 50\text{cm}$) در یک برش عرضی در $z = 0$ و در شرایط $\phi = 0.01$ و $Re = 8208$

جدول ۴- تغییرات عدد ناسلت در $2/MCP = 0.001$ و $\phi = 0.001$ بر حسب عدد رینولدز

$MCP = 0.001$ و $\phi = 0.001$ (در شدت آشفتگی ۷ درصد)	Nu (در شدت آشفتگی ۵ درصد)	Nu (در شدت آشفتگی ۷ درصد)	Re
۳۳/۹۸۱	۳۳/۸۲	۳۷۳۱	
۴۷/۳۴۸	۴۷/۰۰۸۹	۵۲۲۳	
۵۷/۴۹۳	۵۷/۰۰۸۷۷	۶۷۱۶	
۶۲/۵۷۶	۶۲/۱۴۰۳	۸۲۰۸	

همان‌طور که از شکل پیداست افزایش کسر حجمی مقدار بیشترین نوسانات سرعت را در ناحیه نزدیک به دیواره افزایش می‌دهد اما مقدار کمترین نوسانات سرعت آشفتگی در مرکز کanal را کاهش می‌دهد. بنابراین حضور نانوذرات در ناحیه نزدیک دیواره (که بیشترین میزان تولید آشفتگی وجود دارد)، به افزایش میزان آشفتگی کمک می‌کند. این افزایش میزان آشفتگی همراه با افزایش کسر حجمی یکی از دلایل مهم برای بهبود بیشتر انتقال حرارت در جریان آشفته نسبت به جریان آرام است. در انتها نیز تأثیر شدت آشفتگی بر عدد ناسلت مورد بررسی قرار می‌گیرد. جدول (۴) تأثیر تغییر شدت آشفتگی بر عدد ناسلت را در $2/MCP = 0.001$ و $\phi = 0.001$ نشان می‌دهد. مطابق جدول با افزایش شدت آشفتگی و تأثیر متقابل

کسر حجمی در برشی عرضی در $z = 0$ در دو مقطع ابتدای کanal ($y = 25\text{cm}$) و انتهای کanal ($y = 50\text{cm}$) نشان داده شده است. مجدداً مشاهده می‌شود که توزیع کسر حجمی نانوذرات در ابتدای کanal یکنواخت‌تر است. اما در انتهای کanal، تمرکز حضور نانوذرات در مرکز کanal بیشتر است. با توجه به آنکه اثرات متقابل میان نانوذرات و سیال پایه به صورت دو راهه درنظر گرفته می‌شود، حضور نانوذرات نیز بر ویژگی‌های جریان از جمله نوسانات سرعت آشفتگی تأثیر دارد. تأثیر تغییر کسر حجمی بر نوسانات سرعت آشفتگی در شکل (۱۰) نشان داده شده است. در این شکل تغییرات نوسانات سرعت در خط عرضی که از مرکز کanal می‌گذرد در $Re = 3731$ و کسرهای حجمی مختلف نشان داده شده است.

۲- در جریان جابه‌جایی آشفته نانو سیال آب و اکسید مس، اثر ترموفورسیس مهم‌تر از حرکت براونی نانو ذرات بوده و بنابراین تجمع نانو ذرات در نواحی مرکزی کanal بیشتر است.

۳- در ناحیه ورودی کanal به دلیل آنکه هنوز لایه مرزی به طور کامل شکل نگرفته است، نرخ برش سیال اثر کمتری بر پخش نانو ذرات دارد و بنابراین توزیع نانو ذرات یکنواخت‌تر است.

۴- افزایش کسر حجمی نانو ذرات مقدار بیشترین نوسانات سرعت آشفتگی را در ناحیه نزدیک به دیواره افزایش می‌دهد. از این‌رو حضور نانو ذرات در ناحیه نزدیک دیواره (که بیشترین میزان تولید آشفتگی وجود دارد)، به افزایش میزان آشفتگی کمک می‌کند. این افزایش میزان آشفتگی همراه با افزایش کسر حجمی یکی از دلایل مهم برای بهبود بیشتر انتقال حرارت در جریان آشفته نسبت به جریان آرام است.

۵- با افزایش شدت آشفتگی و تأثیر متقابل گردابه‌های جریان و نانو ذرات، حرکت و جنبش نانو ذرات افزایش یافته که این امر موجب افزایش انتقال حرارت می‌شود.

گردابه‌های جریان و نانو ذرات، حرکت و جنبش نانو ذرات افزایش یافته که این امر موجب انتقال بهتر انرژی میان سیال پایه و نانو ذرات می‌شود و در نتیجه باعث افزایش انتقال حرارت می‌شود.

۷- نتیجه‌گیری

در پژوهش حاضر مدل‌سازی جریان جابه‌جایی آشفته نانو سیال آب اکسید مس در کanal قائم مربعی انجام گرفته است. شبیه سازی جریان به روش دو فاز اویلر- لاگرانژ صورت پذیرفته است. نحوه پخش نانو ذرات در نواحی ورودی و کاملاً توسعه یافته و همچنین اثر کسر حجمی نانو ذرات بر نوسانات سرعت آشفتگی مورد بررسی قرار گرفته است. جمع‌بندی نتایج حاصل به صورت زیر است:

۱- در ناحیه کاملاً توسعه یافته توزیع نانو ذرات در سطح مقطع کanal یکنواخت نیست و کسر حجمی نانو ذرات در نواحی مرکزی کanal بیشتر از دیواره‌ها است. در عین حال با افزایش عدد رینولدز نفوذ ذرات به نواحی نزدیک دیواره افزایش می‌یابد که یکی از مهم‌ترین دلایل افزایش انتقال حرارت با افزایش عدد رینولدز است.

واژه‌نامه

1. mixed convection parameter

- Devendiran, D. K., and Amirtham, V. A., "A Review on Preparation, Characterization, Properties and Applications of Nanofluids, *Renewable and Sustainable Energy Reviews*, Vol. 60, pp. 21-40, 2016.
- Xuan, Y., and Li, Q., "Heat Transfer Enhancement of Nanofluids", *International Journal of Heat and Fluid Flow*, Vol. 21, No. 1, pp. 58-64, 2000.
- Yu, W., and Xie, H., "A Review on Nanofluids: Preparation, Stability Mechanisms, and Applications", *Journal of Nanomaterials*, Vol. 2012, No. 1, 2012.
- Kim, H. J., Bang, I. C., and Onoe, J., "Characteristic Stability of Bare Au-Water Nanofluids Fabricated by Pulsed Laser Ablation in Liquids", *Optics and Lasers in Engineering*, Vol. 47, No. 5, pp. 532-538, 2009.
- Esfe, M. H., Saedodin, S., and Mahmoodi, M., "Experimental Studies on the Convective Heat Transfer Performance and Thermophysical Properties of MgO-Water Nanofluid under Turbulent Flow, *Experimental Thermal and Fluid Science*, Vol. 52, pp. 68-78, 2014.
- Sohel, M., Saidur, R., Sabri, M. F. M., Kamalisarvestani, M., Elias, M., and Ijam, A., "Investigating the Heat Transfer Performance and Thermophysical Properties of Nanofluids in a Circular Micro-Channel, *International Communications in Heat and Mass Transfer*, Vol. 42, pp. 75-81, 2013.
- Anoop, K., Das, S. K., and Kabelac, S.,

- “Experimental Convective Heat Transfer Studies in a Turbulent Flow Regime using Alumina-Water Nanofluids”, *QScience Connect*, pp. 39, 2014.
8. Mehrjou, B., Heris, S. Z., and Mohamadifard, K., “Experimental Study of CuO/Water Nanofluid Turbulent Convective Heat Transfer in Square Cross-Section Duct”, *Experimental Heat Transfer*, Vol. 28, No. 3, pp. 282-297, 2015.
 9. Salman, B., Mohammed, H., and Kherbeet, A. S., “Numerical and Experimental Investigation of Heat Transfer Enhancement in a Microtube using Nanofluids”, *International Communications in Heat and Mass Transfer*, Vol. 59, pp. 88-100, 2014.
 10. Namburu, P. K., Das, D. K., Tanguturi, K. M., and Vajjha, R. S., “Numerical Study of Turbulent Flow and Heat Transfer Characteristics of Nanofluids Considering Variable Properties”, *International Journal of Thermal Sciences*, Vol. 48, No. 2, pp. 290-302, 2009.
 11. Lotfi, R., Saboohi, Y., and Rashidi, A., “Numerical Study of Forced Convective Heat Transfer of Nanofluids: Comparison of Different Approaches”, *International Communications in Heat and Mass Transfer*, Vol. 37, No. 1, pp. 74-78, 2010.
 12. Bianco, V., Chiacchio, F., Manca, O., and Nardini, S., “Numerical Investigation of Nanofluids Forced Convection in Circular Tubes”, *Applied Thermal Engineering*, Vol. 29, No. 17, pp. 3632-3642, 2009.
 13. Bazdidi-Tehrani, F., Sedaghatnejad, M., Ekrami, N., and Vasefi, I., “Single Phase and Two Phase Analysis of Mixed Convection of Nanofluid Flow in Vertical Rectangular Duct under an Asymmetric Thermal Boundary Condition”, *Modares Mechanical Engineering*, Vol. 14, No. 13, 2015.
 14. Epstein, P. S., “Zur Theorie Des Radiometers”, *Zeitschrift Für Physik*, Vol. 54, No. 7-8, pp. 537-563, 1929.
 15. Li, A., and Ahmadi, G., “Dispersion and Deposition of Spherical Particles from Point Sources in a Turbulent Channel Flow”, *Aerosol Science and Technology*, Vol. 16, No. 4, pp. 209-226, 1992.
 16. Ranz, W. E., and Marshall, W. R., “Evaporation from Drops, Part 1”, *Chemical Engineering Progress*, Vol. 48, p. 7, 1952.
 17. Bejan, A., *Convection Heat Transfer*, 4th ed., John Wiley & Sons, 2013.
 18. Buongiorno, J., Hu, L.-W., Kim, S. J., Hannink, R., Truong, B., and Forrest, E., “Nanofluids for Enhanced Economics and Safety of Nuclear Reactors: an Evaluation of the Potential Features, Issues, and Research Gaps”, *Nuclear Technology*, Vol. 162, No. 1, pp. 80-91, 2008.
 19. Menter, F. R., “Two-Equation Eddy-Viscosity Turbulence Models for Engineering Applications”, *AIAA Journal*, Vol. 32, No. 8, pp. 1598-1605, 1994.